

Étude numérique de sources de  
rayonnement gravitationnel en théorie  
tenseur-scalaire de la gravité

Jérôme Novak

11 Mars 1998

**Étude numérique de sources de  
rayonnement gravitationnel en théorie  
tenseur-scalaire de la gravité**

Introduction

Présentation des modèles

Méthodes numériques

Scalarisation spontanée

Effondrements gravitationnels

Rayonnement résultant

## Introduction

Construction d'observatoires astrophysiques *gravitationnels*  
⇒ Nécessité d'avoir des modèles fiables des signaux possibles

La théorie *tenseur-scalaire* (Jordan (1949) à Damour et Esposito-Farèse (1992)):

- est une conséquence naturelle des tentatives d'unification de la gravité avec les autres forces (Damour et Polyakov (1994)),
- apporte une manière “élégante” de sortir de l'inflation (Steinhart et Accetta (1990)).

Champ scalaire ( $\varphi$ )  $\Rightarrow$  ondes gravitationnelles monopolaires, émises par des objets sphériques, contrairement à la relativité générale.

Supernovæ et effondrements (étoile à neutrons  $\rightarrow$  trou noir) sont proches de la sphéricité et émettraient de l'énergie sous la forme de ces ondes.

$\Rightarrow$  Il est nécessaire de connaître de manière réaliste le déroulement de ces événements afin de tester la relativité générale

## Présentation des modèles

2 métriques reliées par  $\tilde{g}_{\mu\nu} = a^2(\varphi) \times g_{\mu\nu}^*$

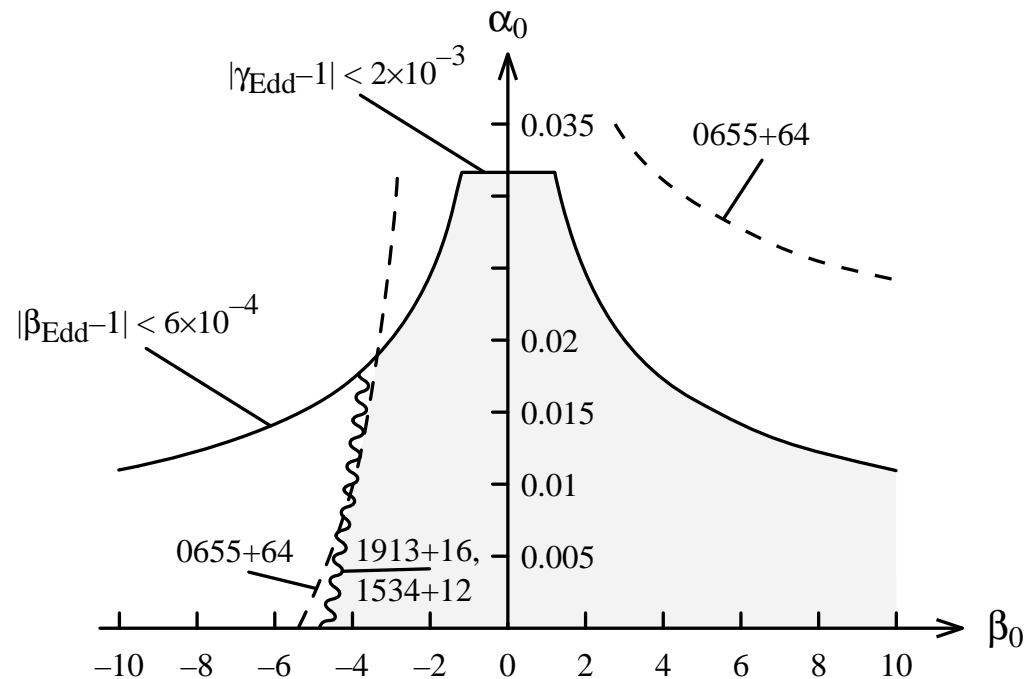
Hypothèses:

- Un seul champ scalaire ( $\varphi$ )
- Fonction de couplage avec la matière  
 $\alpha(\varphi) = \alpha_0 + \beta_0 \times (\varphi - \varphi_0) = \partial \ln(a(\varphi)) / \partial \varphi$
- Symétrie sphérique
- Fluide parfait  $\tilde{T}_{\mu\nu} = (\tilde{e} + \tilde{p})\tilde{u}_\mu\tilde{u}_\nu + \tilde{p}\tilde{g}_{\mu\nu}$

Contraintes sur les paramètres  $(\alpha_0, \beta_0)$ :

→ par les tests de déviation des ondes radio par le Soleil (Lebach *et al.* (1995))

→ par le chronométrage des pulsars binaires (Damour et Esposito-Farèse (1996))



La région compatible avec tous ces tests est hachurée (d'après Damour et Esposito-Farèse (1996)).

Feuilletage 3+1 de l'espace-temps, de la même manière qu'en relativité générale (Cf. Gourgoulhon (1992)):

↪ métrique

$$g_{\mu\nu}^* dx^\mu dx^\nu = -N^2(t, r) dt^2 + A^2(t, r) dr^2 + r^2 (d\theta^2 + \sin^2 \theta d\phi)$$

↪ tenseur impulsion-énergie

$$\tilde{T}_\mu{}^\nu = \begin{pmatrix} -\tilde{E} & -(\tilde{E} + \tilde{p})V & 0 & 0 \\ \left(\frac{A}{N}\right)^2 (\tilde{E} + \tilde{p})U & (\tilde{E} + \tilde{p})U^2 + \tilde{p} & 0 & 0 \\ 0 & 0 & \tilde{p} & 0 \\ 0 & 0 & 0 & \tilde{p} \end{pmatrix}$$

$$A(t, r) = \frac{1}{\sqrt{1 - \frac{2Gm(t, r)}{rc^2}}}; \quad N(t, r) = e^{\nu(t, r)}; \quad \zeta(t, r) = \ln\left(\frac{N(t, r)}{A(t, r)}\right)$$



## équations générales

$$R_{\mu\nu}^* - \frac{1}{2}g_{\mu\nu}^*R^* = 2\partial_\mu\varphi\partial_\nu\varphi - g_{\mu\nu}^*g_*^{\rho\sigma}\partial_\rho\varphi\partial_\sigma\varphi + 2q_\pi^*T_{\mu\nu}^*$$

$$\frac{1}{\sqrt{g^*}}\frac{\partial}{\partial x^\mu}\left(\sqrt{g^*}g_*^{\mu\nu}\frac{\partial\varphi}{\partial x^\nu}\right) = -q_\pi^*\alpha(\varphi)T_*$$

équations du champ gravitationnel

$$\tilde{\nabla}_\nu\tilde{T}^{\mu\nu} = 0$$

$$\tilde{\nabla}_\mu\tilde{n}_B\tilde{u}^\mu = 0$$

équations de conservation

$$\tilde{D} = A\Gamma\tilde{n}_B \text{ avec } \Gamma = (1 - U^2)^{1/2}$$

$$\Xi = \left\{ \left( \frac{1}{N} \frac{\partial\varphi}{\partial t} \right)^2 + \left( \frac{1}{A} \frac{\partial\varphi}{\partial r} \right)^2 \right\}$$

## équations en symétrie sphérique

$$\frac{\partial m}{\partial r} = \frac{c^2}{G_*} r^2 \left[ \frac{1}{2} q_\pi^* E^* + \Xi \right]$$

$$\frac{\partial \nu}{\partial r} = \frac{q_\pi A^2}{2} \left[ \frac{mc^2}{4\pi r^2} + a^4(\varphi) r (\tilde{p} + U^2 (\tilde{E} + \tilde{p})) + r \Xi \right]$$

équations de contraintes donnant la métrique

$$\frac{\partial U}{\partial t} + V \frac{\partial U}{\partial r} = \sigma_U$$

$$\frac{\partial \tilde{E}}{\partial t} + \frac{1}{r^2} \frac{\partial}{\partial r} \left( r^2 (\tilde{E} + \tilde{p}) V \right) = \sigma_{\tilde{E}}$$

$$\frac{\partial \tilde{D}}{\partial t} + a(\varphi) \frac{1}{r^2} \frac{\partial}{\partial r} \left( r^2 \tilde{D} V \right) = \sigma_{\tilde{D}}$$

équations d'évolution hydrodynamique

$$\frac{\partial^2 \varphi}{\partial t^2} - \frac{\partial \zeta}{\partial t} \frac{\partial \varphi}{\partial t} - e^{2\zeta} \left( \Delta \varphi + \frac{\partial \zeta}{\partial r} \frac{\partial \varphi}{\partial r} \right) = N^2 q_\pi^* \alpha(\varphi) T^*$$

équation d'onde

## équation d'état

Polytropic pour l'étoile à neutrons:

$$\tilde{e}(\tilde{n}_B) = \tilde{n}_B \tilde{m}_B + K \frac{\tilde{n}_0 \tilde{m}_B}{\gamma - 1} \left( \frac{\tilde{n}_B}{\tilde{n}_0} \right)^\gamma$$
$$\tilde{p} = K \tilde{n}_0 \tilde{m}_B \left( \frac{\tilde{n}_B}{\tilde{n}_0} \right)^\gamma$$

avec  $\gamma = 2.34$  et  $K = 0.0195$ , ou  $\gamma = 2$  et  $K = 0.1$ .

Indice adiabatique variable pour la modélisation de la neutronisation de la matière  $e^- + p^+ \rightleftharpoons n + \nu_e$

(Cf. Van Riper (1978)):

$$\gamma(\tilde{n}_B) = \gamma_{\min} + S_r (\log_{10}(\tilde{\rho}) - \log_{10}(\rho_{\text{rebond}}))$$

## méthodes spectrales

partie spatiale des fonctions  $\rightarrow$  base de polynômes de Tchebychev:

$$f(r) \cong \sum_{n=0}^N f_n T_n(r);$$

opérations du type  $f \mapsto \frac{\partial f}{\partial r}$ ,  $\int f$ ,  $\frac{1}{r}f$ ,  $rf$ ,  $\Delta f$  se réduisent à des multiplications matricielles.

Intégration temporelle:

$$\left(1 - \frac{(t_{J+1} - t_J)}{2} \mathcal{S}\right) \cdot f_{t_{J+1}} = f_{t_J} + \frac{(t_{J+1} - t_J)}{2} \mathcal{S}(f_{t_J})$$

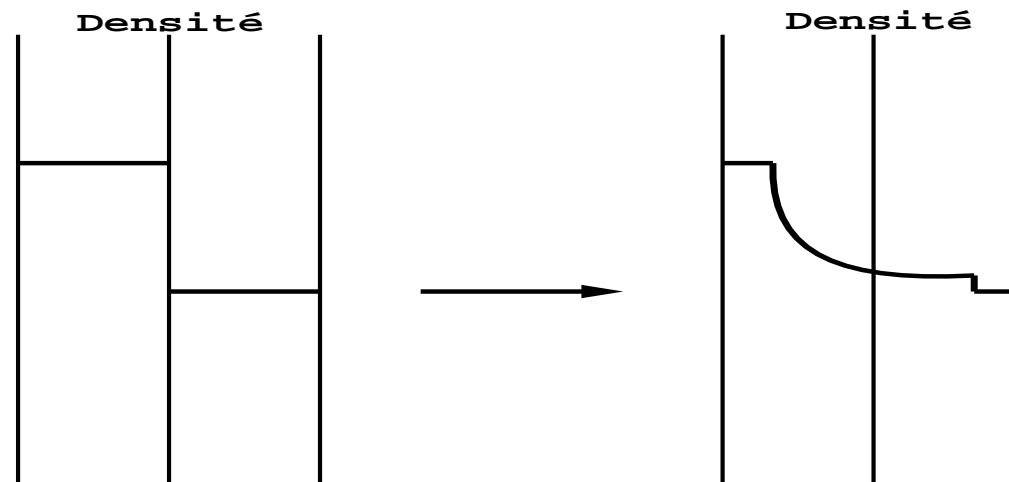
+ conditions au contour. (Bonazzola *et al.* (1997))

## différences finies–capture de chocs

équations écrites sous forme conservative:

$$\frac{\partial \vec{u}}{\partial t} + \frac{1}{r^2} \frac{\partial}{\partial r} \left[ r^2 \frac{N}{A} \vec{f}(\vec{u}) \right] = \vec{s}(\vec{u})$$

Problème de Riemann:

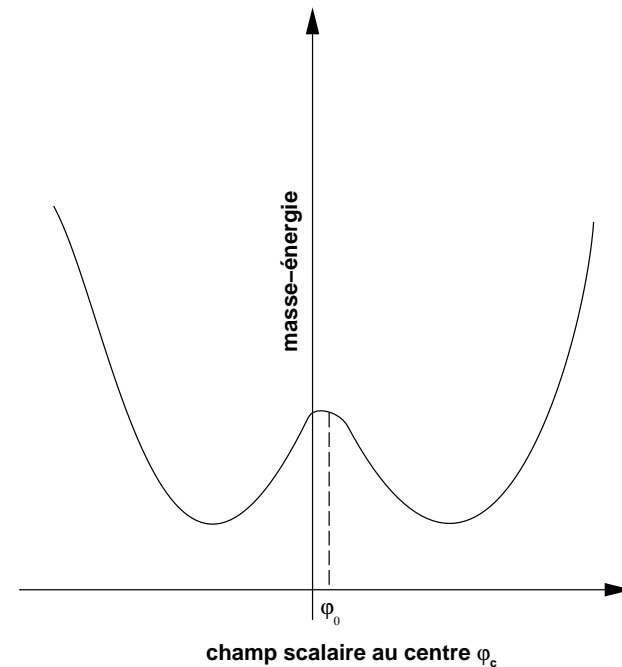
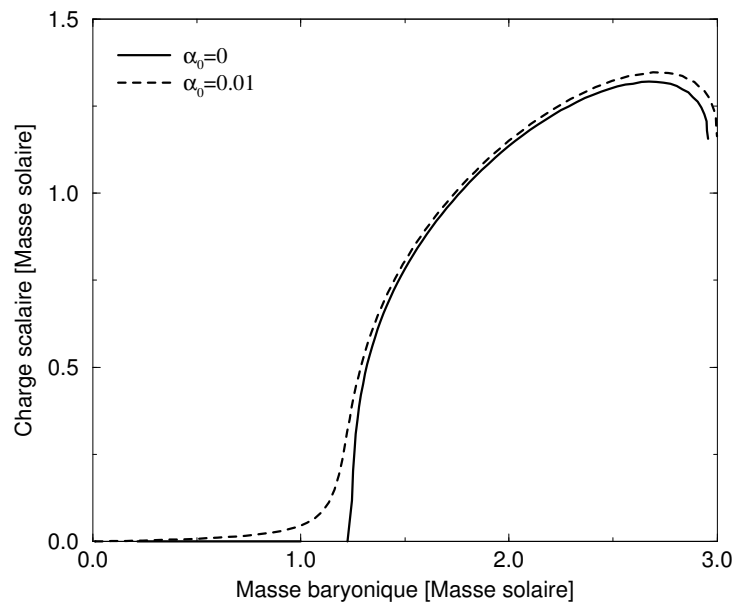


Romero *et al.* (1997)

## scalarisation spontanée

Solutions d'équilibre des équations contenant un champ  $\varphi$  fort alors que  $\alpha_0 = 0$  (Damour et Esposito-Farèse (1993)).

Analogie avec le ferromagnétisme (Damour et Esposito-Farèse (1996)):

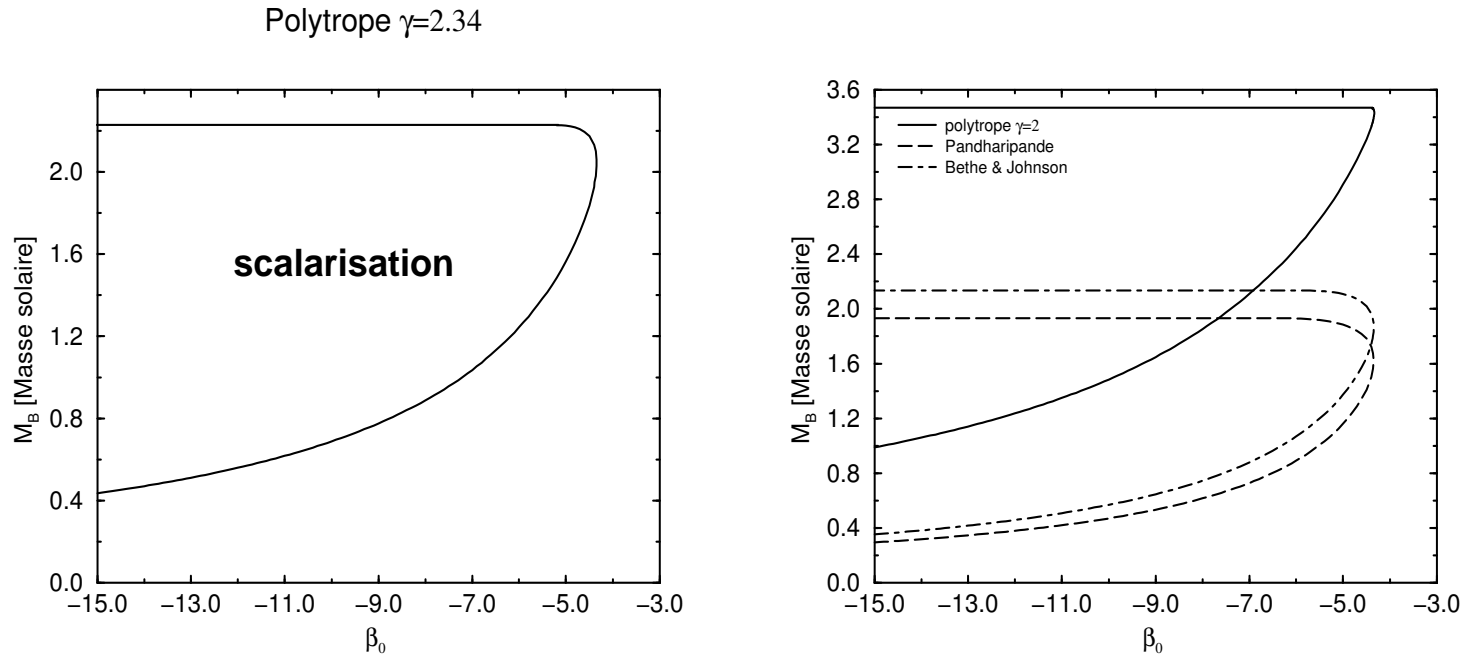


	Solution	$\alpha_0$	$\beta_0$	$R_{surf}$ [km]	$\tilde{n}_B(r=0)$ [ <i>nuc</i> ]	$M_g$ [ $M_\odot$ ]	$M_B$ [ $M_\odot$ ]
1	instable	0	-6	13.2	3.9643	1.37803	1.50009
2	stable	0	-6	13	5.3212	1.37322	1.50008
3	stable	0	-6	13	5.3212	1.37322	1.50008
4	instable	$-10^{-2}$	-6	13.2	3.9742	1.37807	1.50007
5	stable	$-10^{-2}$	-6	13	5.3674	1.3719	1.50008
6	stable	$-10^{-2}$	-6	13	5.2669	1.37452	1.50008

Pour  $M_B > M_B^{\text{crit}}$ , il y a une solution d'équilibre instable et deux stables (aussi Harada (1998)).

$M_B^{\text{crit}}$  dépend des paramètres de couplage  $(\alpha_0, \beta_0)$  et de l'équation d'état.

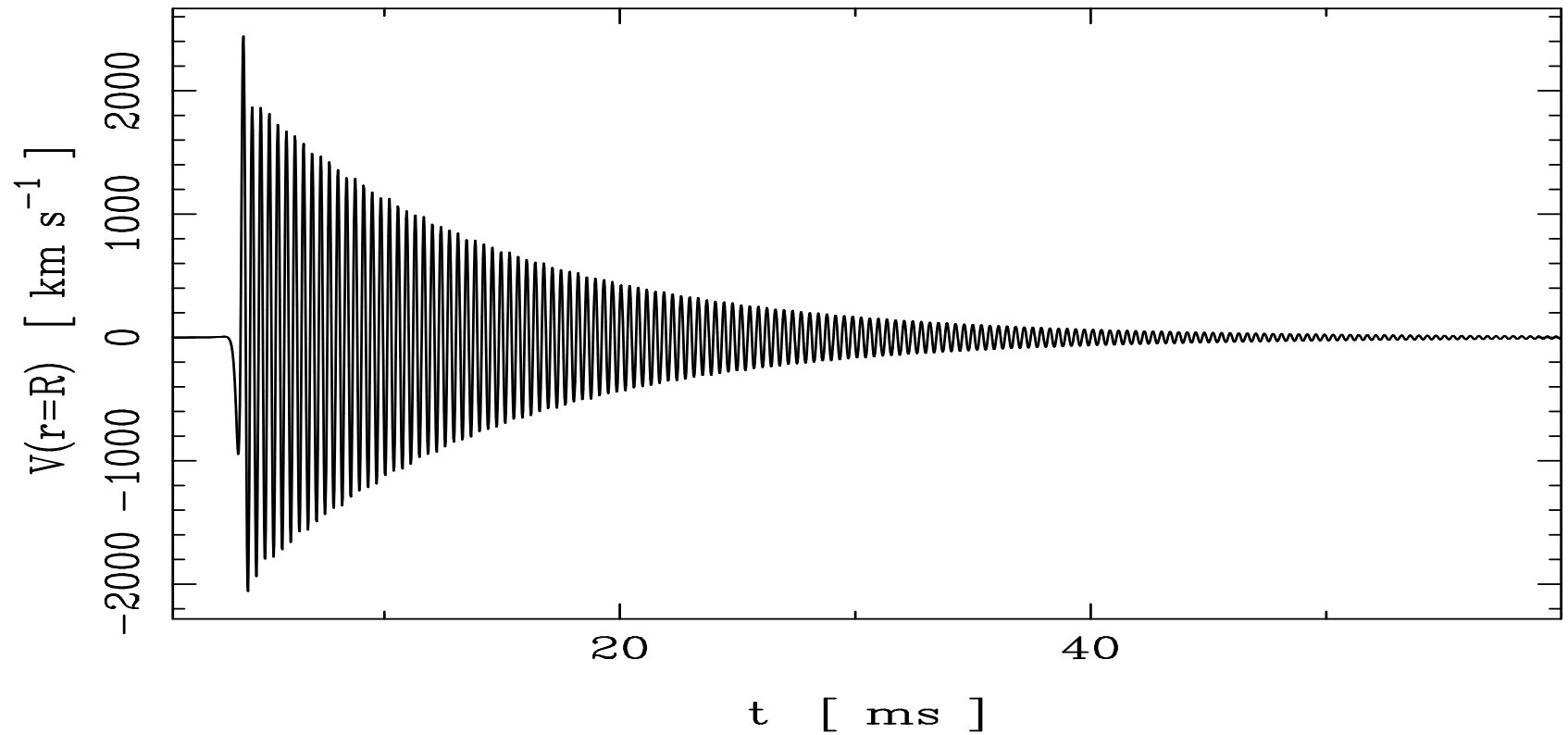


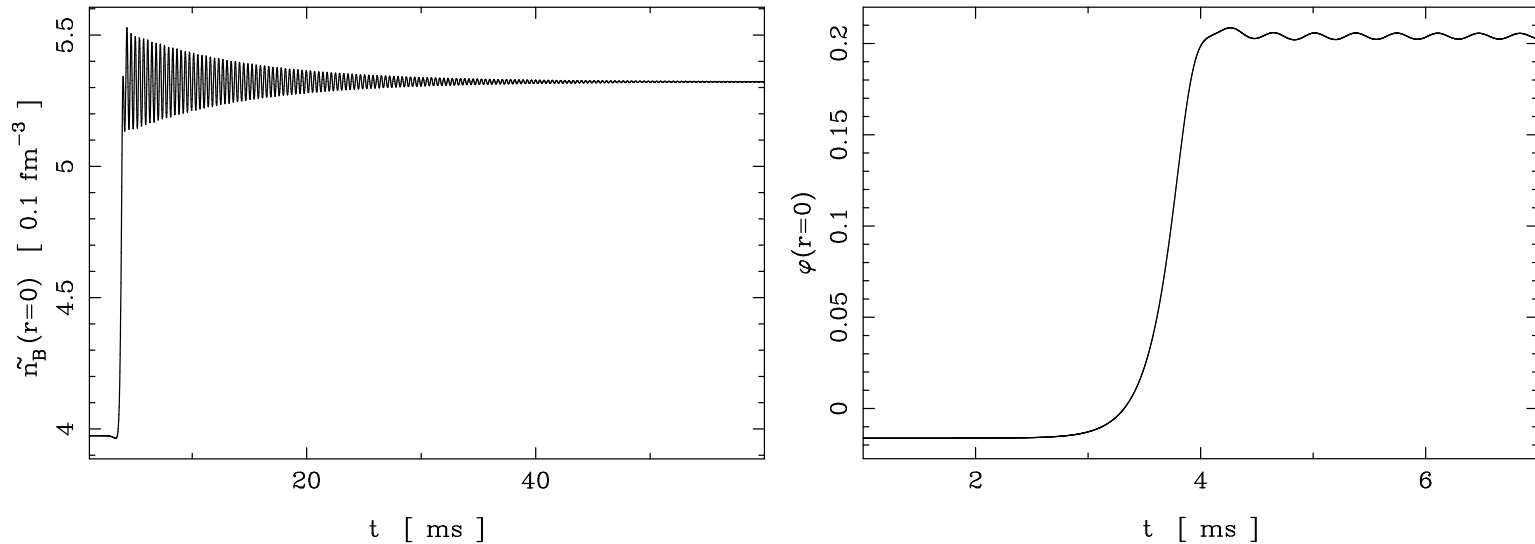


$$\beta_0^{\max} = -4.34 \pm 0.01.$$

## transition dynamique

Comment évolue une étoile instable ?





Après les oscillations, l'étoile s'établit dans l'une ou l'autre des solutions stables (aux erreurs numériques près  $\sim 3 \times 10^{-2}$ ).

→ **Excellente vérification de cohérence globale du code**

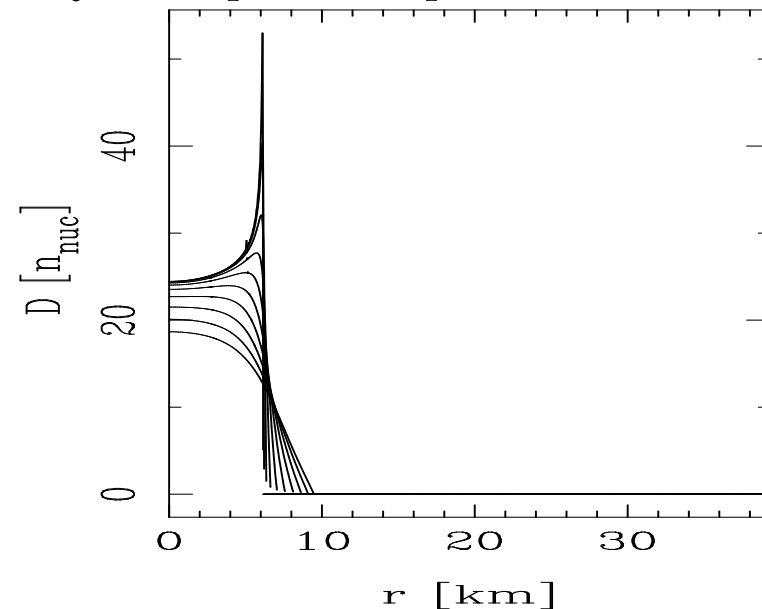
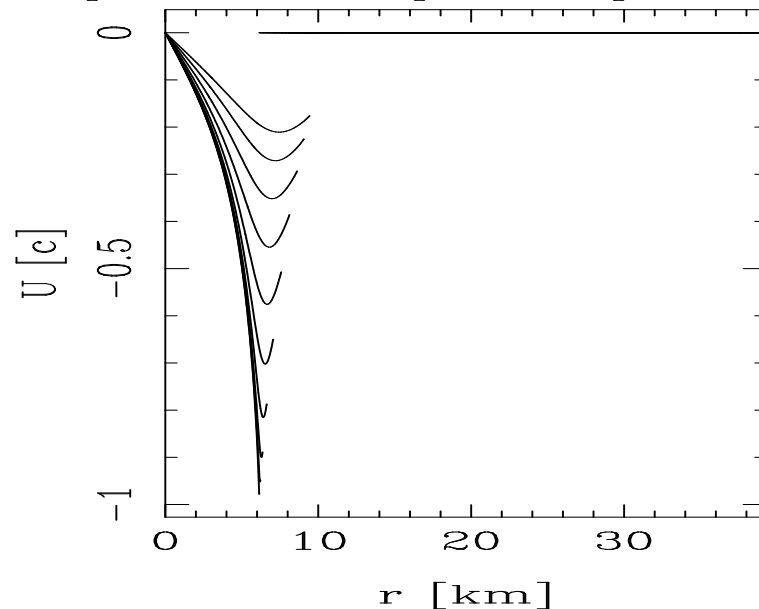
→ **Effet important de  $\varphi$  sur l'hydrodynamique**

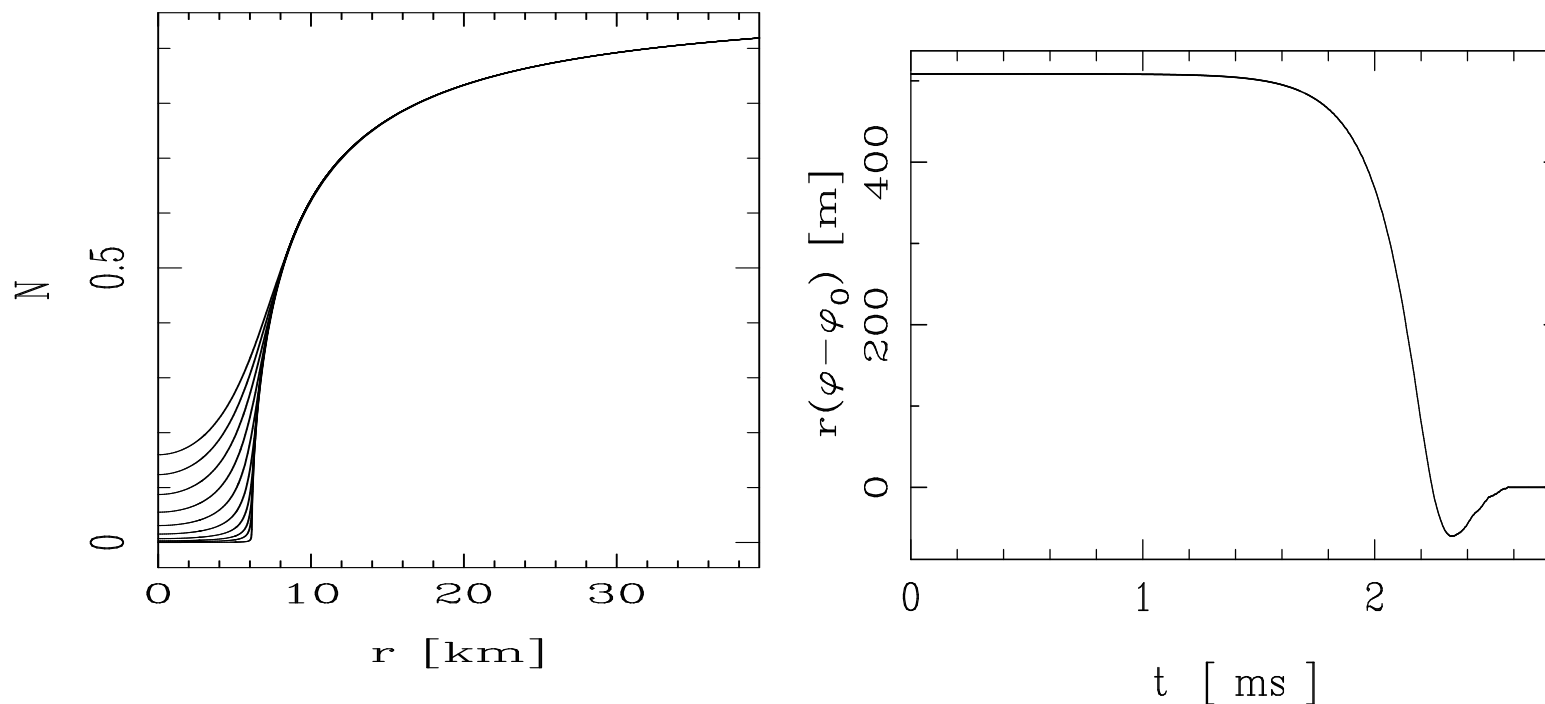
# Effondrements gravitationnels

## étoile à neutrons $\rightarrow$ trou noir

Travaux précédents sur effondrement d'Oppenheimer-Snyder (poussière) et sans scalarisation spontanée (Shibata *et al.* (1994), Scheel *et al.* (1995) et Harada *et al.* (1997))

$\Rightarrow$  première fois que les équations dynamiques complètes sont résolues





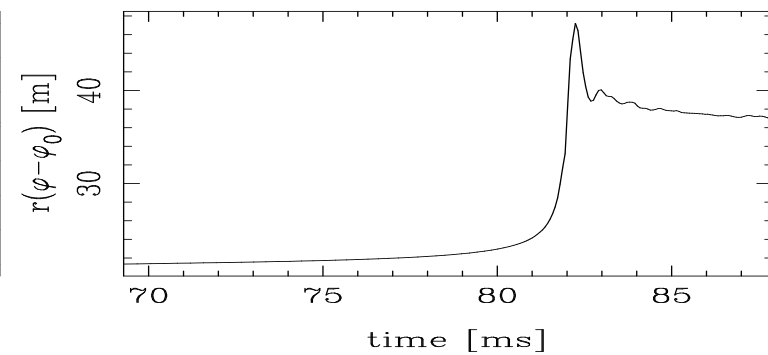
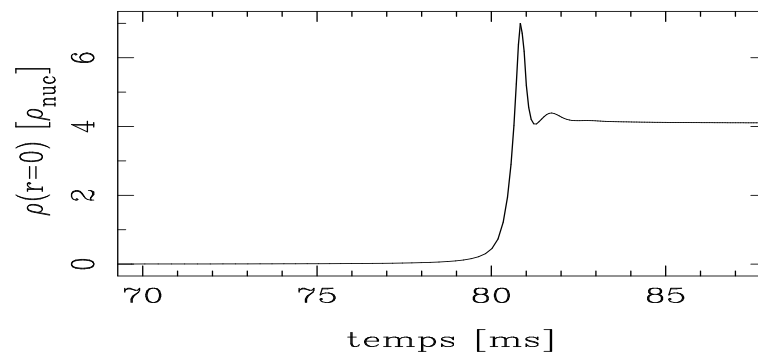
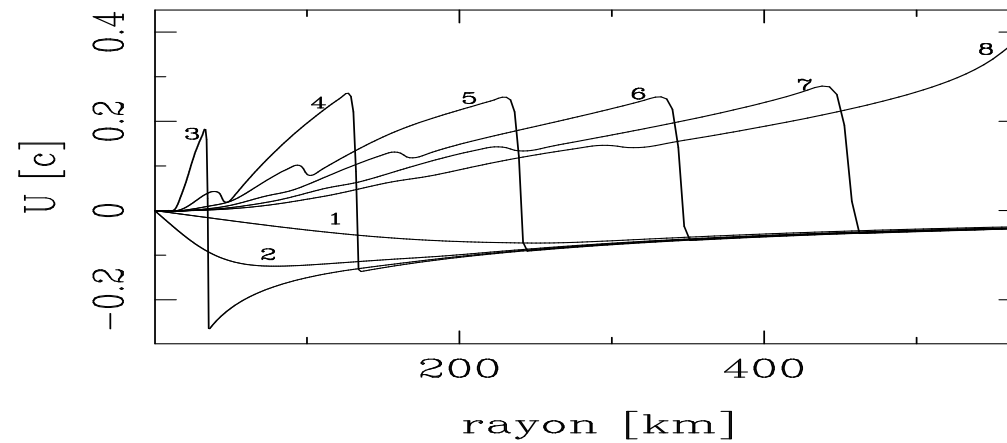
$$\frac{R_{\text{étoile}}}{R_{\text{Schwarzschild}}} \simeq 1.001,$$

$$N(r=0) \simeq 10^{-5}, \quad \text{et} \quad N(r=R_{\text{étoile}}) \simeq 10^{-3}$$

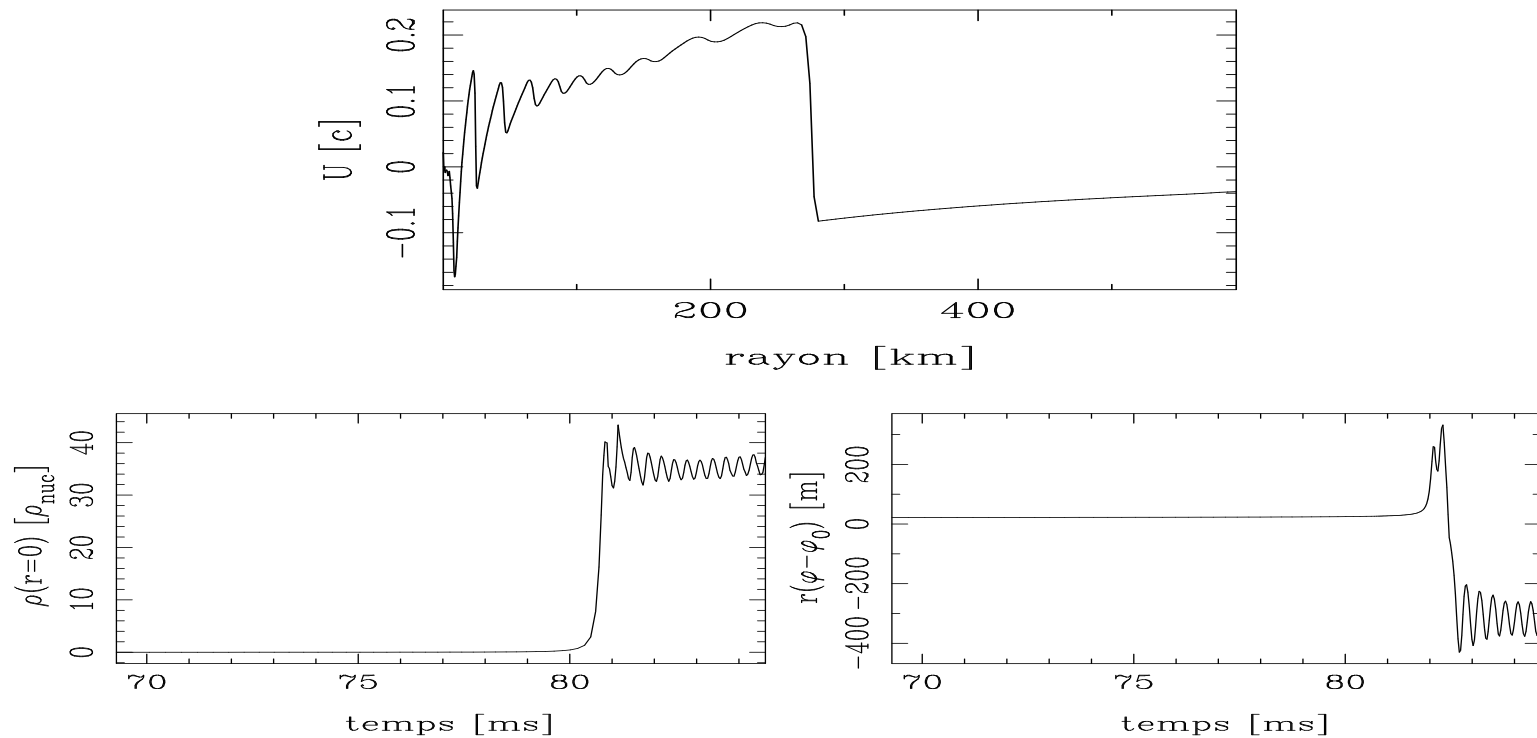
## naine blanche $\rightarrow$ étoile à neutrons

première fois qu'un tel type de code existe et que ce problème est étudié.

$$\beta_0 > \beta_0^{\text{crit}} \text{ et } \rho_{\text{rebond}} = 1.5\rho_{\text{nuc}}$$



$\beta_0 < \beta_0^{\text{crit}}$  et rebond plus “dur” ( $\rho_{\text{rebond}} = 15\rho_{\text{nuc}}$ )



oscillations de l'étoile  $\leftrightarrow$  apparition de la scalarisation  
spontanée

changement de signe de  $\varphi \rightsquigarrow$  facteur de couplage  
gravitationnel négatif entre deux étoiles à neutrons !

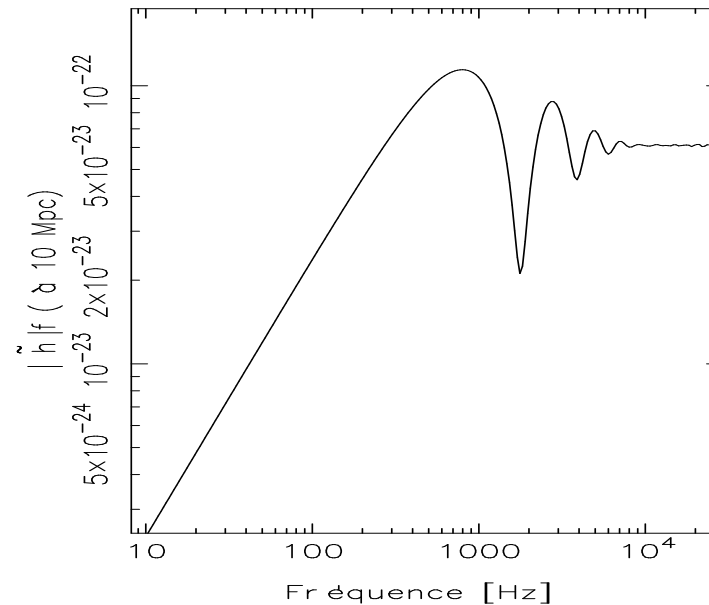
## Rayonnement résultant

$$\square \bar{h}_*^{\mu\nu} = -4q_\pi^* T_*^{\mu\nu} \quad \text{et} \quad \square(\varphi - \varphi_0) = -q_\pi^* \alpha_0 T_*$$

onde gravitationnelle scalaire  $h(t) = \frac{2}{d} a^2(\varphi_0) \alpha_0 R(\varphi(R) - \varphi_0)$

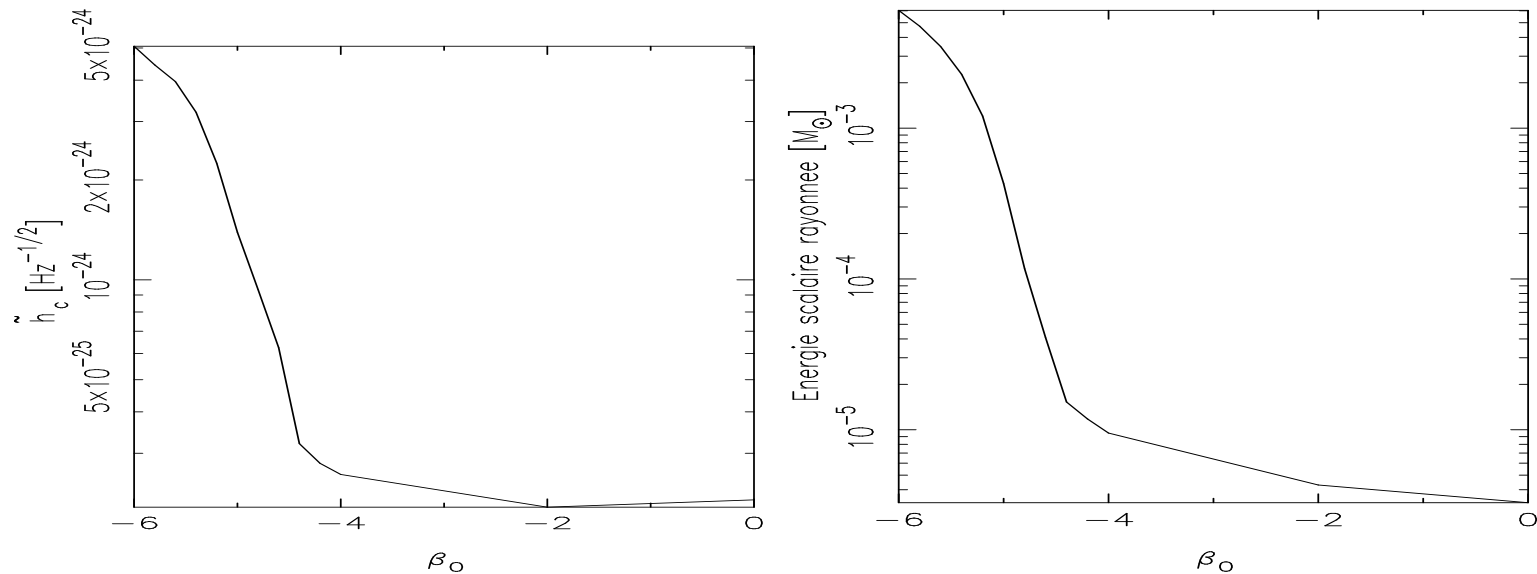
$$\text{Flux rayonné } F = \frac{1}{cq_\pi^*} \int_{\vec{n}} \left( \frac{\partial(R \times (\varphi(R) - \varphi_0))}{\partial t} \right)^2 d\Omega(\vec{n})$$

Spectre de Fourier ( $\alpha_0 = 2.5 \times 10^{-2}$ ,  $\beta_0 = -5$ )



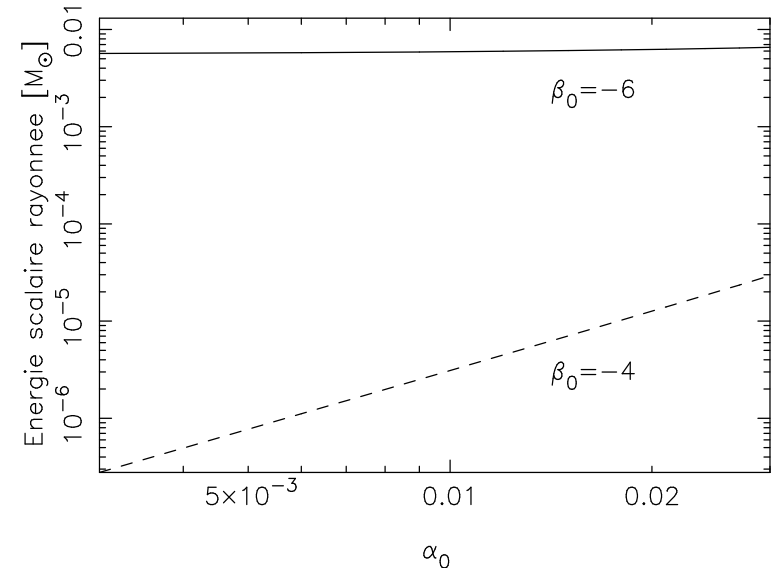
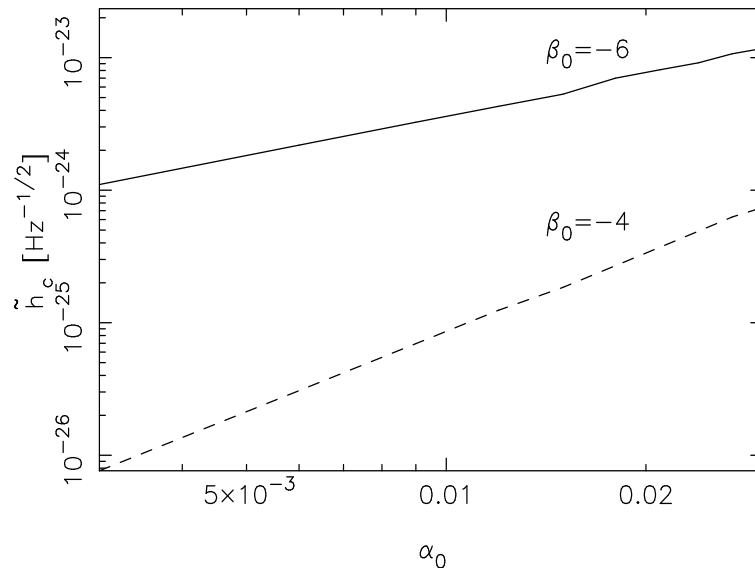


$\alpha_0$  maximal compatible avec les tests du système solaire



⇒ L'amplitude du signal dépend fortement de la possibilité d'apparition de scalarisation spontanée.

⇒ L'amplitude détectable est faible même si l'énergie émise est importante.



Scalarisation spontanée:  $R(\varphi(R) - \varphi_0) \sim 1$

Champ faible:  $R(\varphi(R) - \varphi_0) \sim \alpha_0$

Estimation de  $h_{\mu\nu}^{*TT}$  pour des étoiles oscillantes en rotation  
(indépendant de  $\alpha_0$ ):

$$h^{*TT} \sim 10^{-12} \frac{f^2}{d}$$

$\Rightarrow$  indétectable à plus de 10 pc !

## Conclusions

- Première fois que les équations complètes sont résolues en symétrie sphérique
- Faibles possibilités de détection
- Phénomènes non-perturbatifs ne peuvent apparaître que pour  $\beta_0 < -4.35$
- Code hybride intéressant pour la suite ...